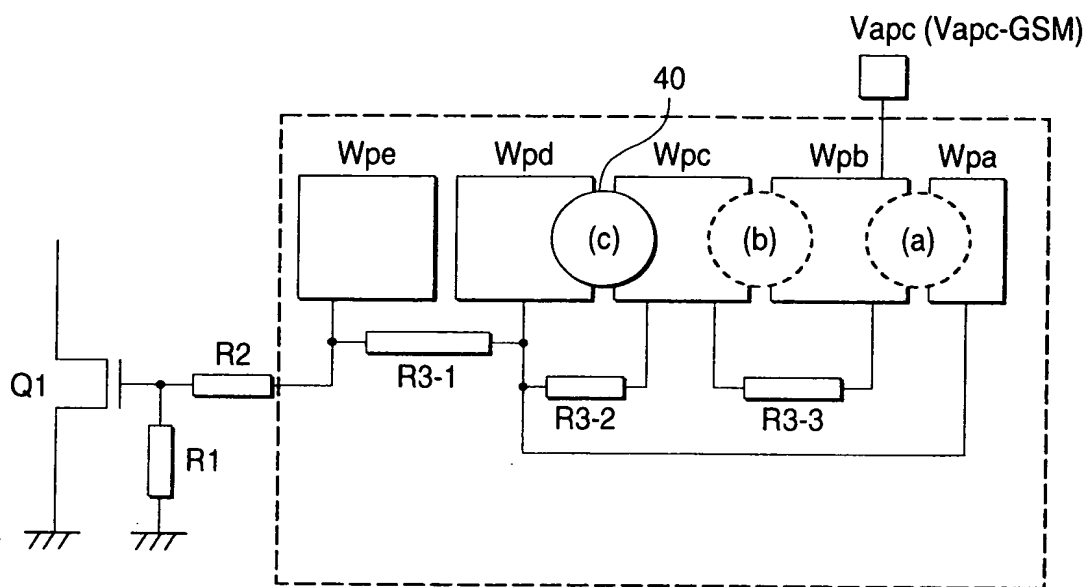


FIG. 1



- (a):  $R_1/(R_1 + R_2 + (R_3 - 1))$
- (b):  $R_1/(R_1 + R_2 + (R_3 - 1) + (R_3 - 2))$
- (c):  $R_1/(R_1 + R_2 + (R_3 - 1) + (R_3 - 3))$
- (d): NO BONDING  
 $R_1/(R_1 + R_2 + (R_3 - 1) + (R_3 - 2) + (R_3 - 3))$

FIG. 2

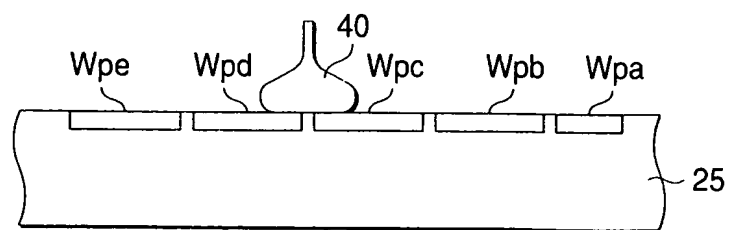


FIG. 3

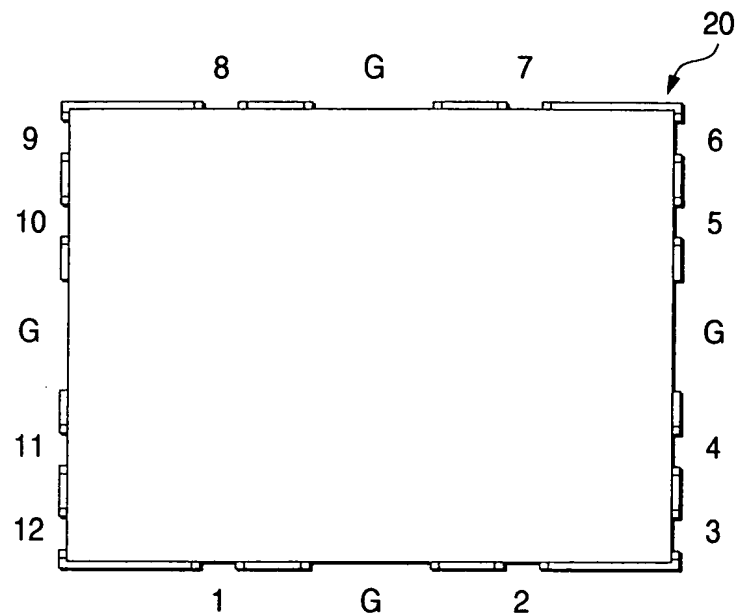


FIG. 4

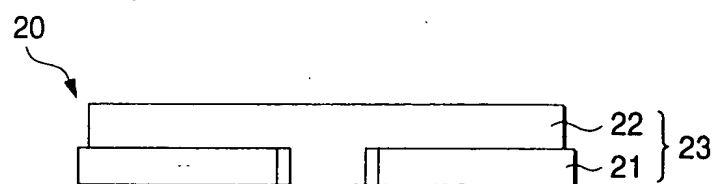


FIG. 5

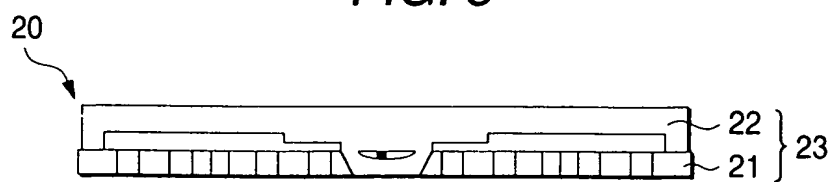


FIG. 6

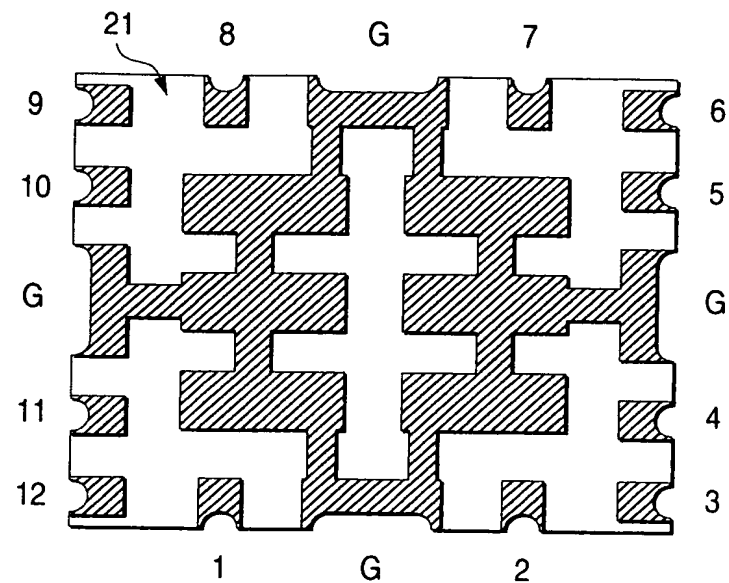


FIG. 7

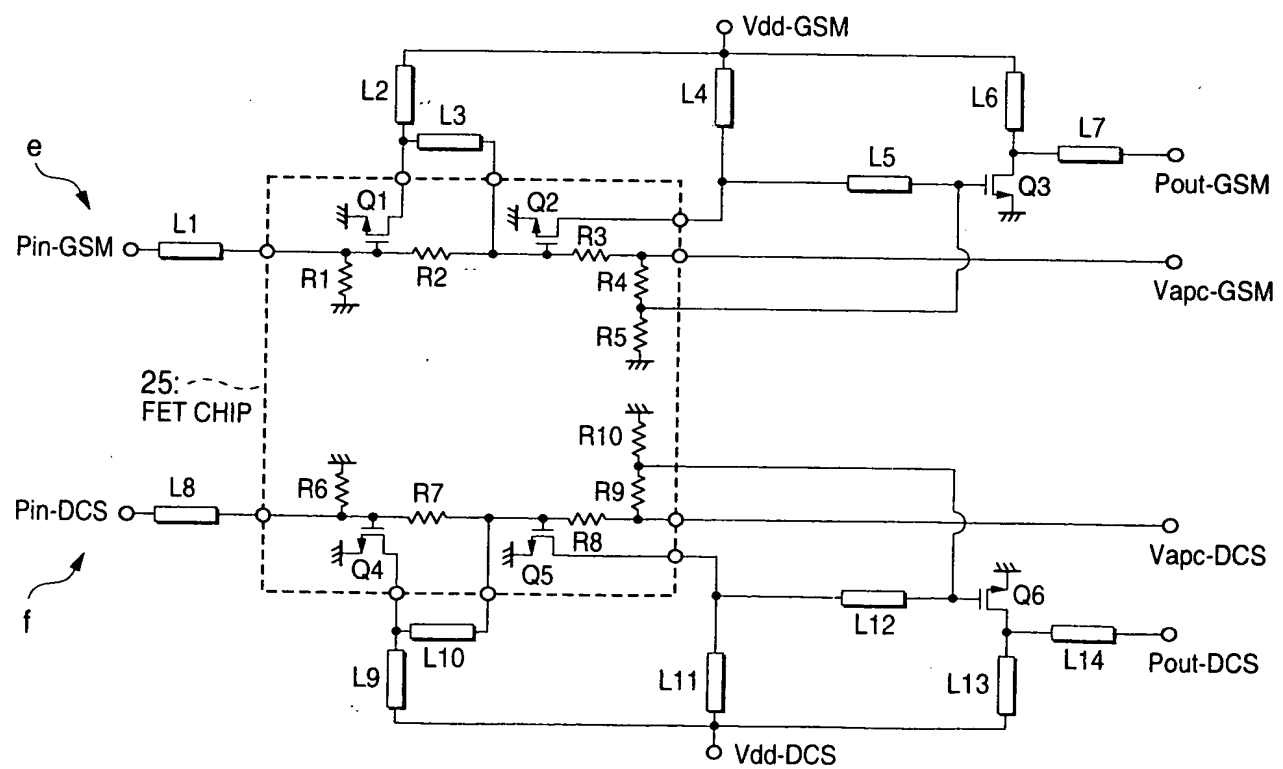


FIG. 8

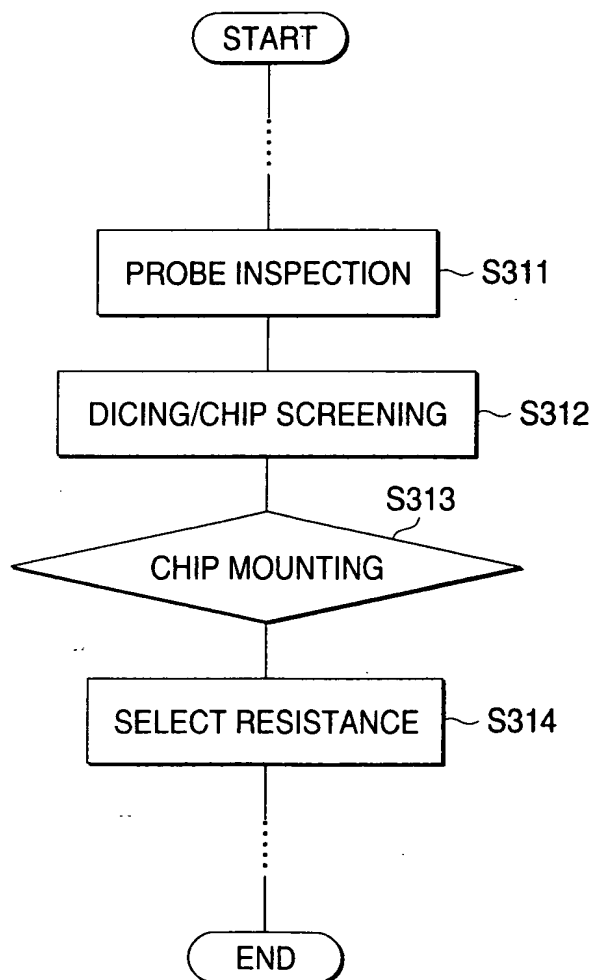


FIG. 9

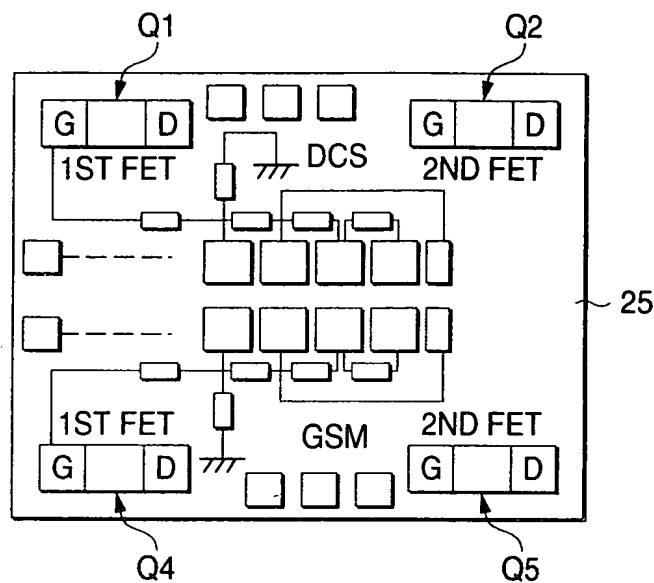


FIG. 10

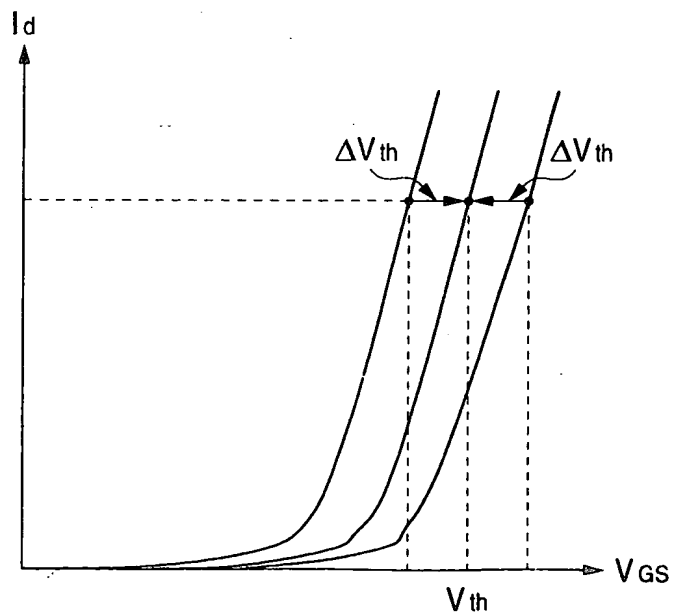


FIG. 11

$V_{th}$	POSITION OF BALL BONDING
HIGH	(a)
	(b)
	(c)
LOW	(d)

FIG. 12

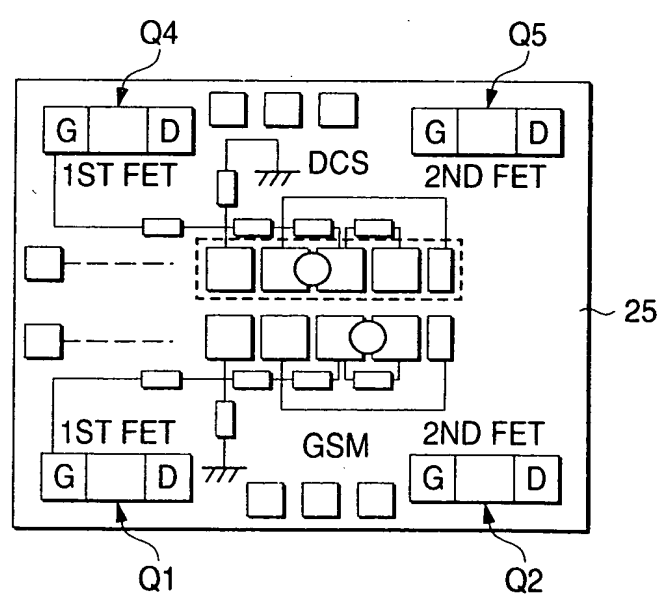


FIG. 13

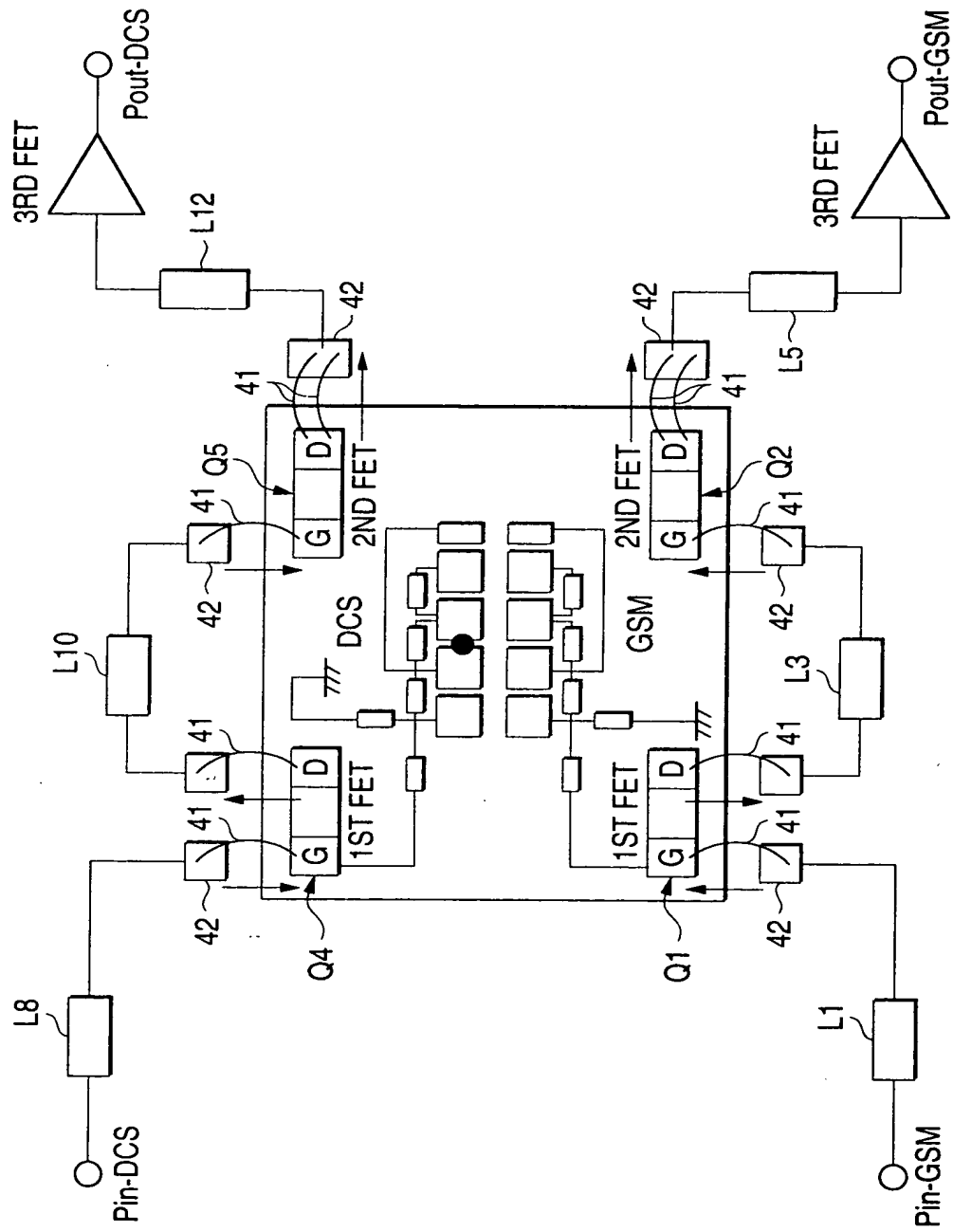


FIG. 14A

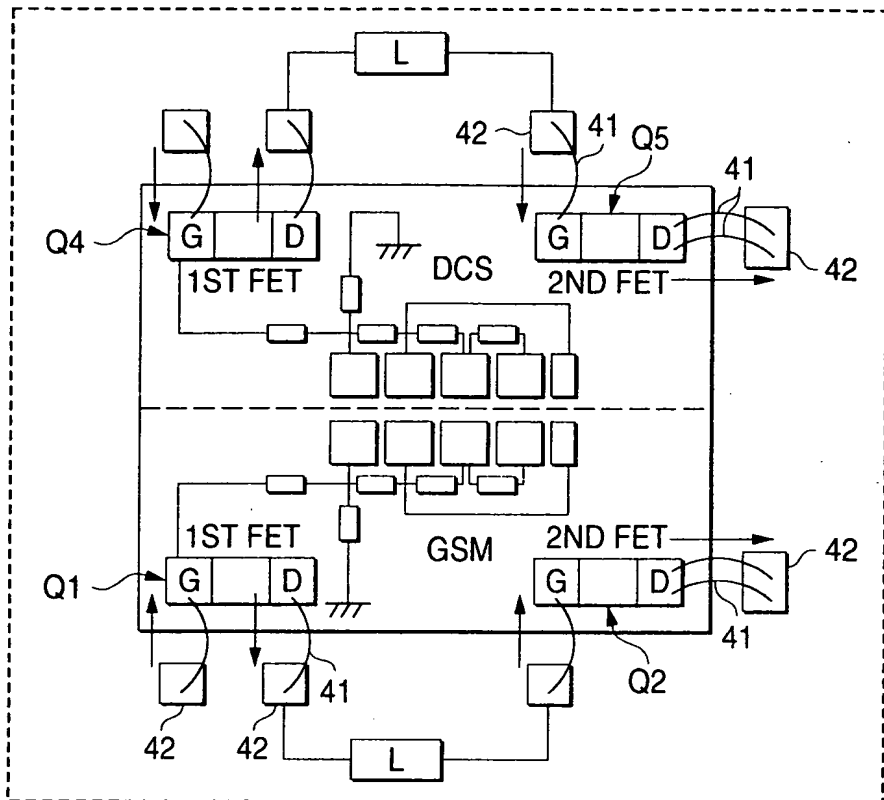


FIG. 14B

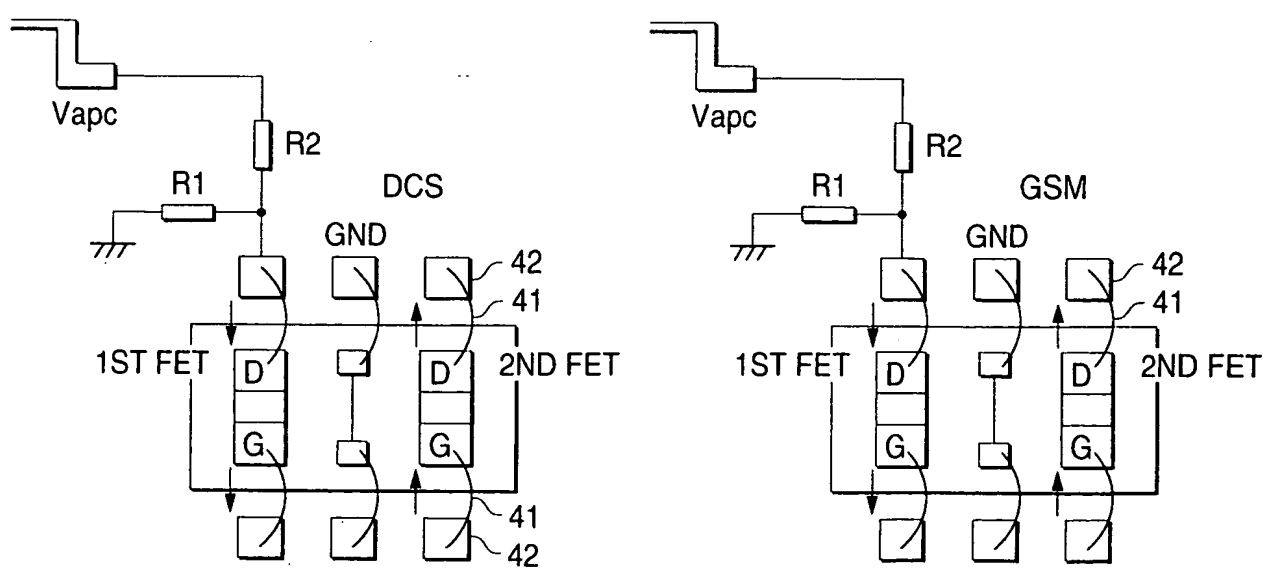


FIG. 15

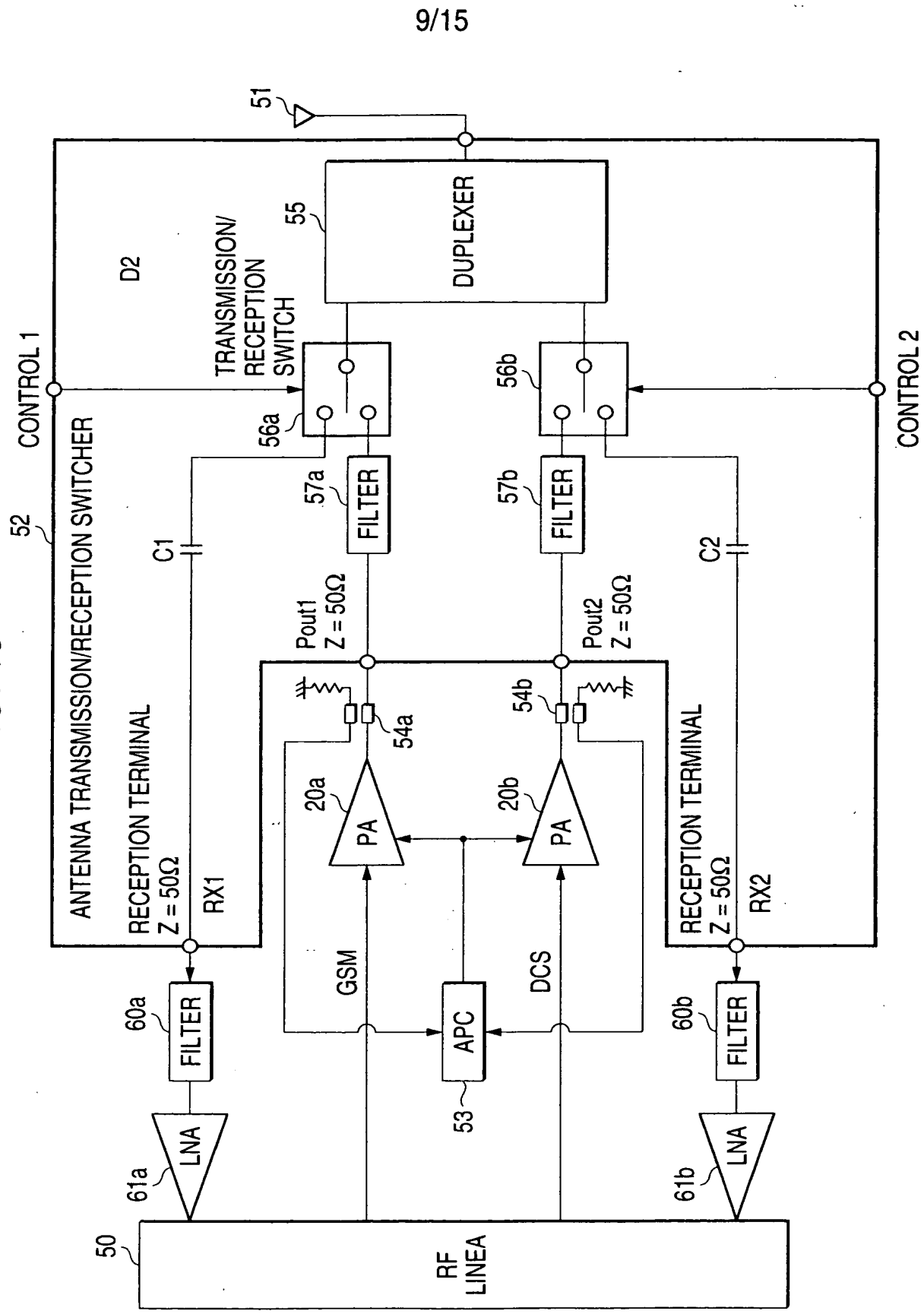


FIG. 16

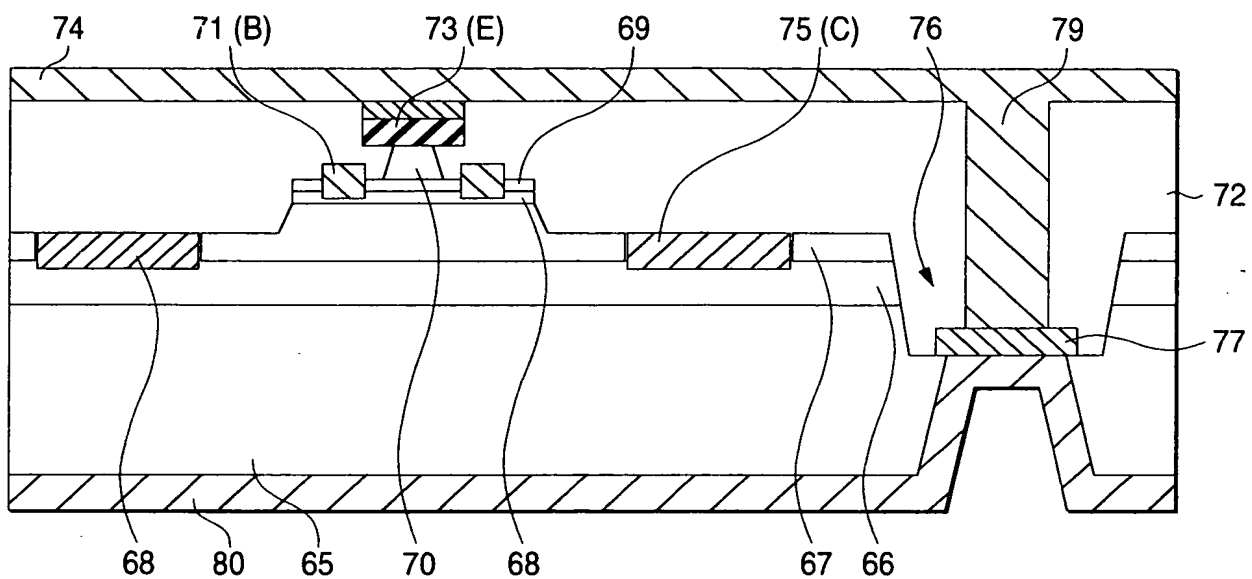


FIG. 17

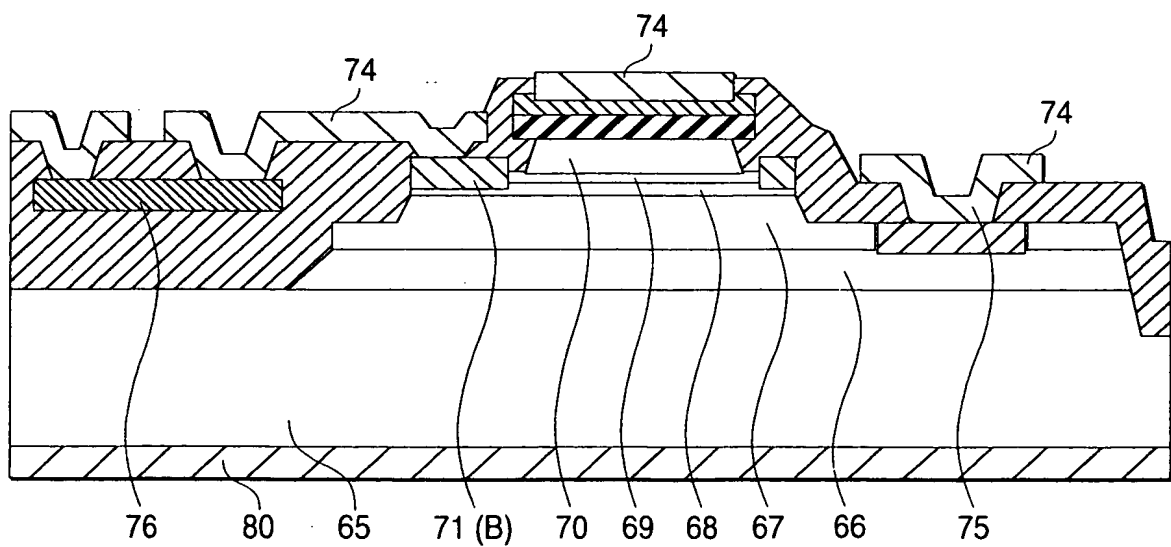


FIG. 18

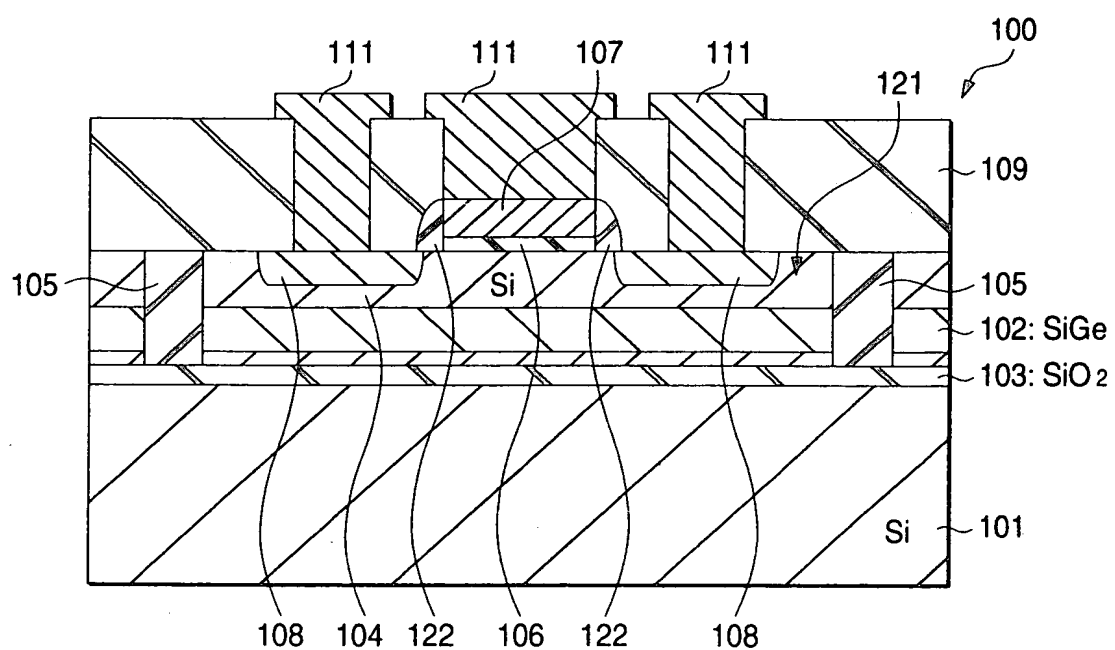


FIG. 19

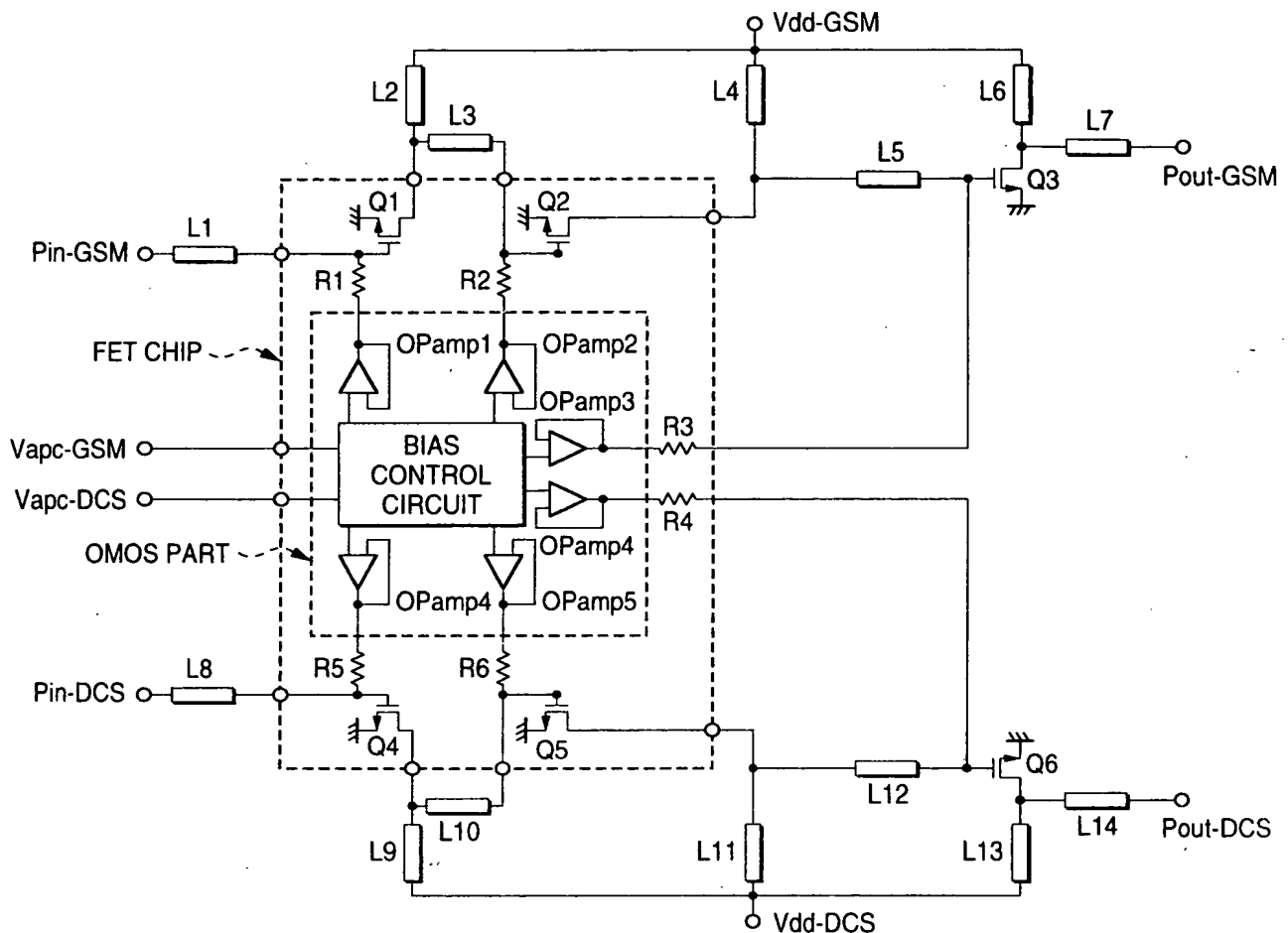


FIG. 20

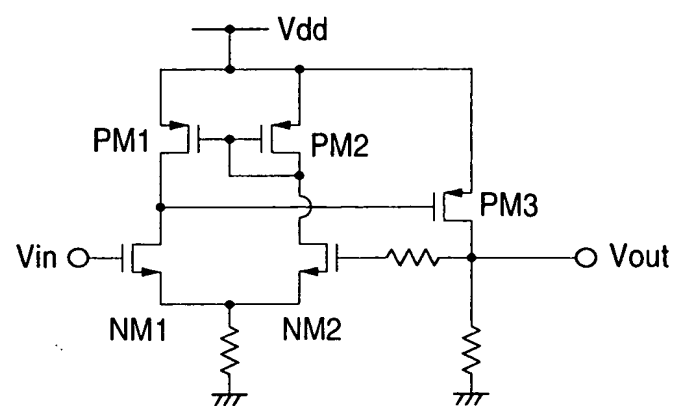


FIG. 21

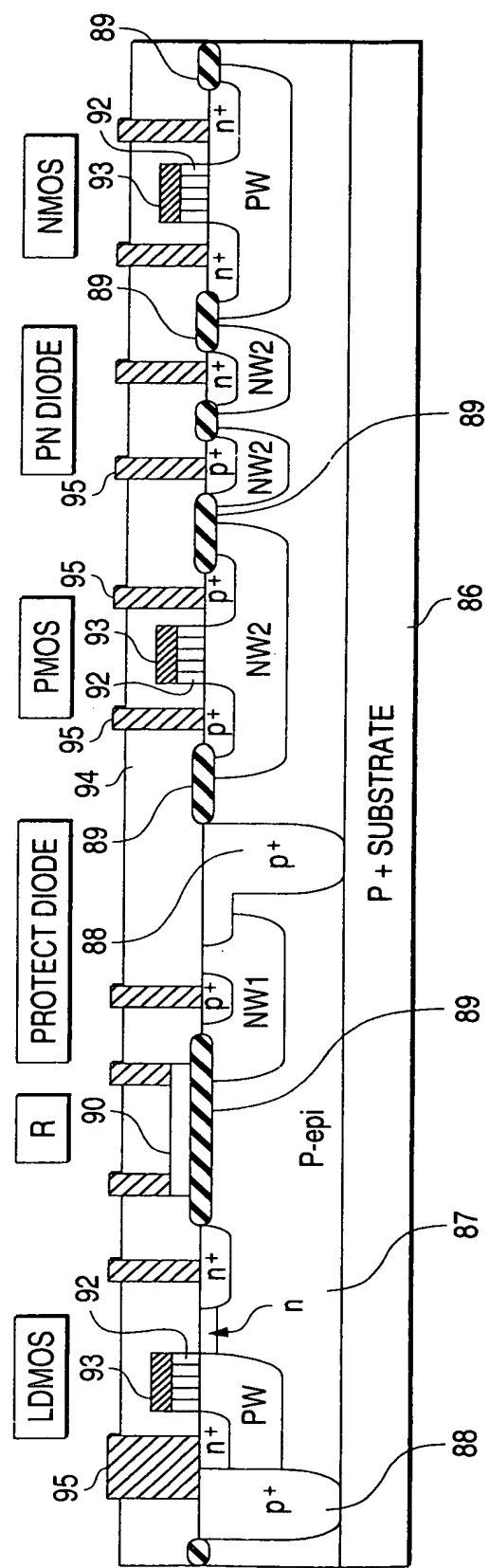


FIG. 22

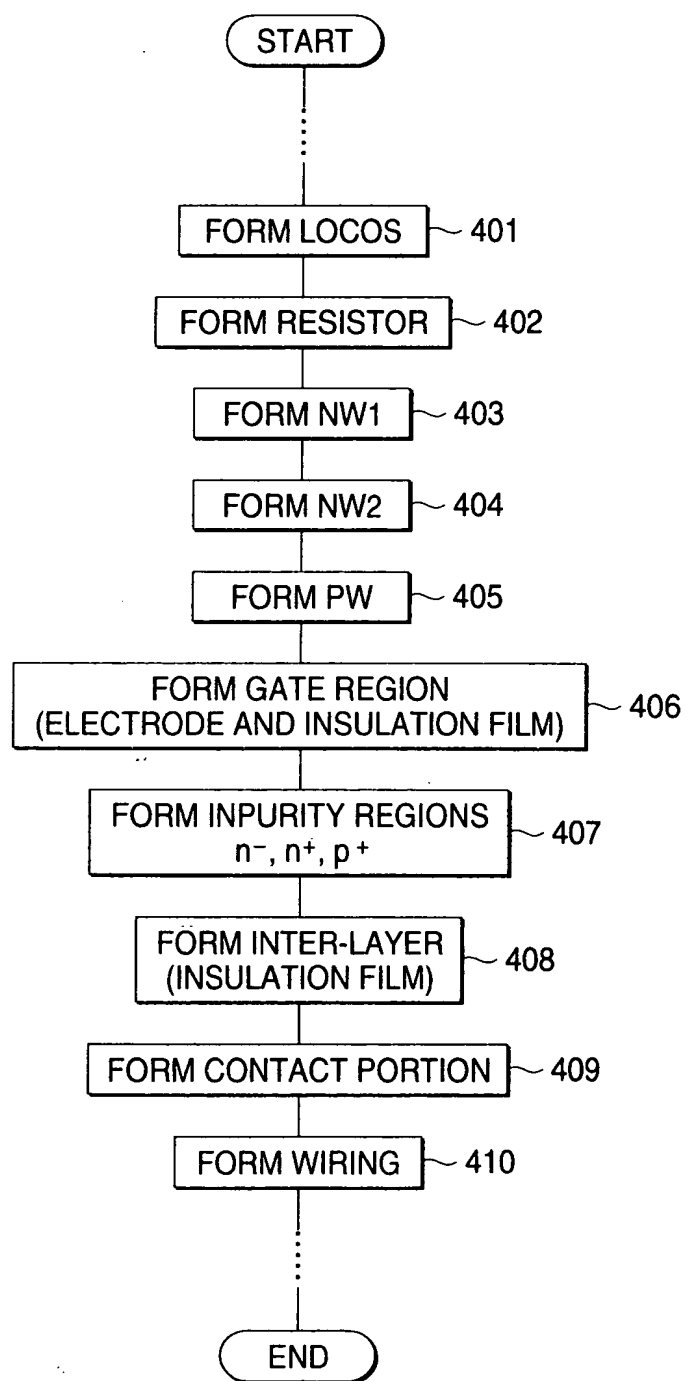


FIG. 23

